

## 土石流の流動について

九州大学工学部 正員 植 東一郎 中山比佐雄

学生員○羽田野根義 田中 清

本文は昨年平野らが行なった人工降雨による土石流実験の続篇として、大型の水路を用い、勾配を大きく変化させて土石流の濃度、流速分布、波高並びに土石流流量と雨量との関係などについて、量的な関係を求めようとするものである。

## 実験装置と方法

長さ6mの人工降雨装置をもつ、長さ7m、高さ30cm、幅15cmの可変勾配水路に平均粒径0.8mm、密度 $\sigma=2.63 g/cm^3$ のほぼ一様な砂を10cmの厚さにし、降雨強度500, 1000, 1500 mm/hの雨を降らせて土石流を発生させた。勾配は10°, 15°, 20°, 25°の4種で、土石流の発生時刻・発生位置、土石流の表面流速・波高(下流域より約1m上流)及び土石流の流量、濃度(下流域)などを測定した。斜面側面から16mm撮影機を用いて土石流先端部を毎秒64コマで写し、土石流中の砂粒や投入したパンドウを追跡して流速分布を測定した。

1. 土石流の平均濃度  $\bar{C}_d$ : Bagnold が示した砂粒の衝突による垂直応力と剪断応力との比例関係を河床面に適用すると、比例定数を  $\tan\phi$  として

$$(0-p)g \cos \theta \int_0^h (d dy) \tan \phi = P_m g h \sin \theta, \quad P_m = P(1-\bar{C}_d) + \sigma \bar{C}_d$$

より 平均濃度  $\bar{C}_d$  は次式

$$\bar{C}_d = \frac{\rho}{\sigma-p} \frac{\tan \theta}{\tan \phi - \tan \theta} \quad (1)$$

で与えられ、砂粒の場合( $\sigma=2.65$ )  $\tan \phi = \text{const}$  とすると  $\bar{C}_d$  は勾配  $\tan \theta$  と一義的な関係をもつことになる。図-1は雨水流による土石流資料とともに、流水によって発生させた土石流実験結果もプロットされている。 $\tan \phi = 0.8 \sim 1.0$ とした場合の式(1)がほぼ適合するが、Bagnold が与えた  $\tan \phi = \frac{1}{2} \tan \theta$  とはかなり大きく異なること、及び  $\bar{C}_d$  に頭打ちがみられる  $\tan \theta \approx 0.4$  の領域に対しても今後の検討が必要である。

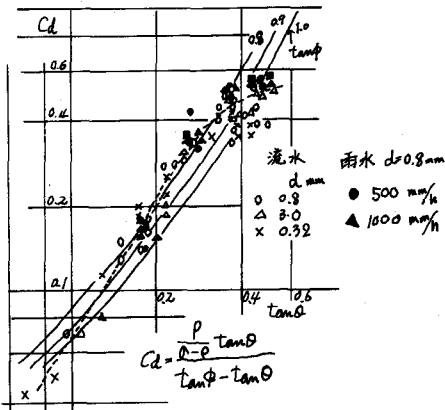


図-1  $\theta=25^\circ, 20^\circ, 15^\circ, 10^\circ$   
濃度と勾配の関係  
 $500 \text{ mm/h } \circ$      $\square$      $\diamond$   
 $1000 \text{ mm/h } \triangle$      $\blacksquare$      $\lozenge$   
 $1500 \text{ mm/h } \times$      $\blacktriangle$      $\blacksquare$

2. 土石流の流量と雨量との関係: 雨による表面流出量 $q_{fr}$ と土石流の流量 $q_{sf}$ との間に、堆積層における空隙の割合を入として、次の関係

$$\frac{q_{sf}}{q_{fr}} = \frac{1}{1 - \frac{1}{1-\lambda}} \quad (2)$$

があり、 $\frac{q_{sf}}{q_{fr}}$  は  $\bar{C}_d$  を通じて、 $\tan \theta$  だけの関数となる。 $q_{fr}$  として土石流発生点より末端までの降雨による表面流出量を用い、 $\lambda=0.43$ 、 $\bar{C}_d$  と  $\tan \theta$  の関係として図中に示した平均的な値を用いた(2)式の計算結果と実験結果との比較を図-2に示す。土石流は浸透水が基盤に達し、表面流出の生起とほぼ同時に発生するため、 $q_{fr}$  は若干過大に評価されているが、 $\lambda$  が  $\lambda$  をこえると水と砂とは十分に混合して飽和濃度に近く、 $\frac{q_{sf}}{q_{fr}}$  は 5 ～ 10 程度の値となる。 $\lambda$  が  $15^\circ$  以下では水と砂とはある程度分離した形で流送され、 $\lambda$  が小さい程挾流形式に近づく。

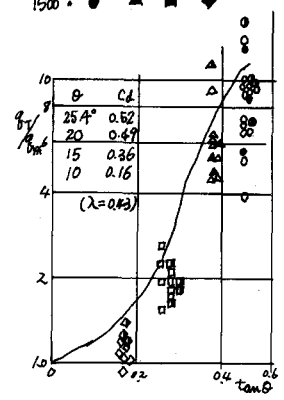


図-2  $\frac{q_{sf}}{q_{fr}}$  と勾配の関係

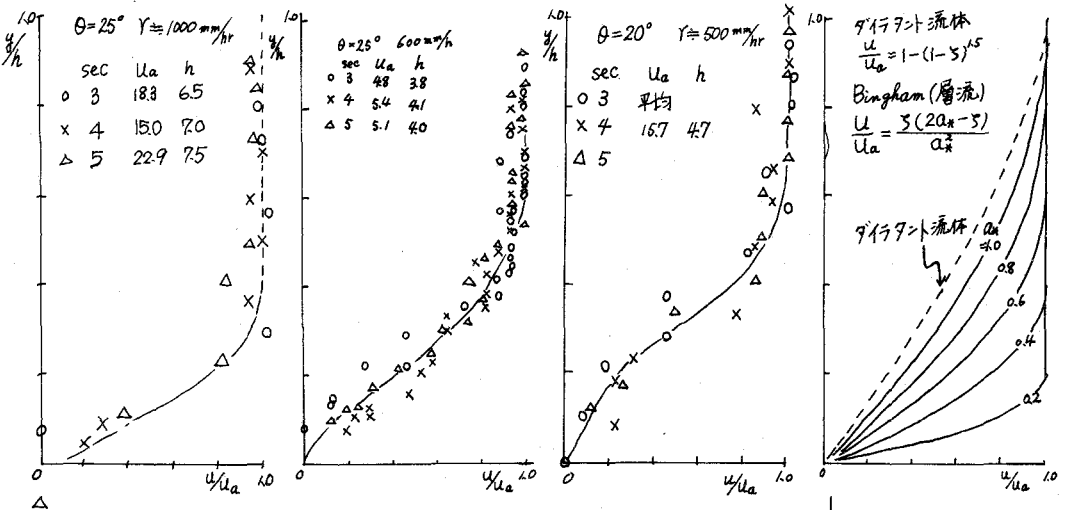


図-3 流速分布

3. 流速分布、流速係数及び波高：表面流速 $u_a$ で無次元化した流速分布 $u/u_a$ は図-3に示すように Bingham 流体的である。せん断降伏値 $\tau_0$ 、粘性度 $\eta_a$ の物理的意味は明らかでないが

$$T = \rho_m g h \sin \theta (1-\zeta) = \bar{U}_g + \frac{\eta_a}{\rho_m} \frac{dy}{dx}, \quad \bar{U}_g = \rho_m g h \sin \theta (1-\alpha)$$

を $y=0$ で $U=0$ の条件のもとに積分して整理すると、表面流速に関する流速係数 $\varphi_a$ は

$$\varphi_a = \frac{u_a}{U_g} = \frac{\eta_a}{V_b} \cdot \frac{g^2}{2} \quad \text{より} \quad \varphi_a = \left( \frac{2}{\zeta} \cdot \frac{\eta_a}{V_b} \cdot \frac{g^2}{3} \right)^{\frac{1}{2}} \quad (3)$$

ここに  $V_b$ : 動粘性係数、 $V_b$ : 砂粒の衝突効果を含んだ粘性係数、 $\zeta$ : 流速差定義における上石流流量とされる。また $\eta_a$ に対して次の関係

$$\eta_a' = U_m h = \varphi u_a h = \left[ \frac{\eta_a}{V_b} \cdot \frac{V_b}{V_b} \cdot \frac{A^2 (3 \tan \theta)}{6} \right]^{\frac{1}{2}} \sqrt{g h \sin \theta} \cdot h \quad (4)$$

が成り立ち、 $\eta_a'$  ( $\eta_a'$ は発生点より波高測定点までの降雨による表面流出量) は前述したように、 $C_d$ あるいは勾配 $\tan \theta$ の関数である。さらに、 $\eta_a'$ 、 $\alpha$ は密度( $\tan \theta$ )の関数とみなされるから。

$$\varphi_a / \left( \frac{\eta_a'}{V_b} \right)^{\frac{1}{2}}, \quad \text{波高の無次元量} \left( \frac{\eta_a'}{V_b} \right)^{\frac{1}{2}} h$$

はいずれも $C_d$ あるいは $\tan \theta$ の関数となる。これらの関係は、図-4、図-5でプロットされ、上の考え方がほぼ妥当であることが示されている。なお図-3に示すように、 $A_k$ 、 $V_b = \frac{u_a h^2}{2 U_g}$  の値は $A_k=0.4 \sim 0.7$ 、 $V_b=90 \sim 200 \text{ cm}^3/\text{s}$ 程度の値となるが、今後の実験によって $A_k$ 、 $V_b$ を検討する必要がある。

尚実験にあたって面倒な仕事を手伝って頂いた藤田技官、千平生の池水君には感謝の意を表す。

(参考文献) 1) 平野、岩元他：人工降雨による土石流の実験 西部支那論文集(昭51.2)

2) R.A. Bagnold: The Flow of cohesionless Grains in Fluids

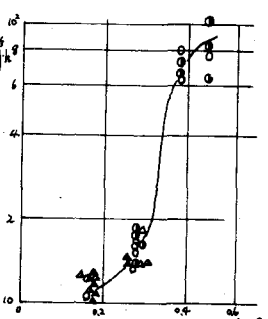
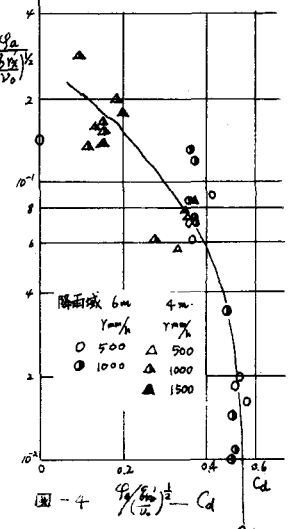


図-5  $(\frac{\eta_a'}{V_b})^8 h - \tan \theta$